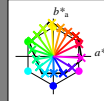


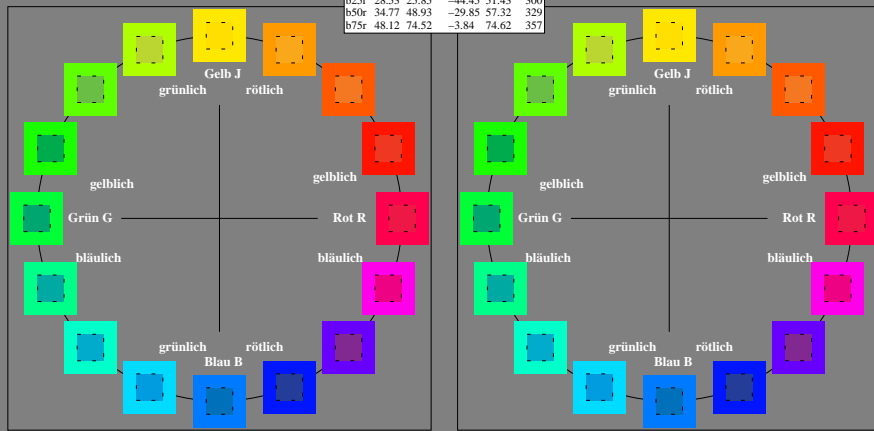
Ein und Ausgabe:
Farbmetrisches Drucker-Reflektiv-System ORS18_95aM
Daten für jede Farbe:
 $lab^{*}ich^{*}$ und $lab^{*}icu^{*}$
Elementar-Bunttonext:
 $u^{*} = 16$ Bunttöne $r00j$, $r25j$, ..., $b75r$
Kontrastreduzierungsfaktor:
 $c_R = 1.0$

	ORS18_95aM; adaptierte CIELAB-Daten				
	$L^{*}-L^{*}_{a}$	a^{*}_{a}	b^{*}_{a}	$C^{*}_{ab,a}$	$h^{*}_{ab,a}$
r00j	48.0	68.4	32.59	75.77	25
r25j	51.32	59.36	53.8	80.11	42
r50j	62.67	39.12	64.83	75.72	59
r75j	73.73	19.4	75.58	78.03	76
j00g	86.61	-3.55	88.09	88.17	92
j25g	78.07	-26.64	74.05	78.7	110
j50g	65.83	-42.94	56.44	70.93	127
j75g	54.87	-57.53	40.67	70.47	145
g00b	52.54	-55.91	17.93	58.72	162
g25b	55.02	-45.5	-7.69	46.16	190
g50b	56.98	-37.23	-28.04	46.62	217
g75b	53.92	-21.56	-44.93	49.84	244
b00r	41.64	1.36	-44.7	44.73	272
b25r	28.53	25.85	-44.45	51.43	300
b50r	34.77	48.93	-29.85	57.32	329
b75r	48.12	74.52	-3.84	74.62	357

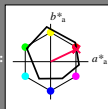


%Umfang
 $u^{*}_{rel} = 93$
%Regularität
 $g^{*}_{H,rel} = 57$
 $g^{*}_{C,rel} = 59$

	ORS18_95aM; adaptierte CIELAB-Daten				
	$L^{*}-L^{*}_{a}$	a^{*}_{a}	b^{*}_{a}	$C^{*}_{ab,a}$	$h^{*}_{ab,a}$
O _{Ma}	47.94	65.39	50.52	82.63	38
Y _{Ma}	90.37	-10.26	91.75	92.32	96
L _{Ma}	50.9	-62.83	34.96	71.91	151
C _{Ma}	58.62	-30.34	-45.01	54.3	236
V _{Ma}	25.72	31.1	-44.4	54.22	305
M _{Ma}	48.13	75.28	-8.36	75.74	354
N _{Ma}	18.01	0.0	0.0	0.0	0
W _{Ma}	95.41	0.0	0.0	0.0	0
R _{CIE}	39.92	58.74	27.99	65.07	25
J _{CIE}	81.26	-2.88	71.56	71.62	92
G _{CIE}	52.23	-42.41	13.6	44.55	162
B _{CIE}	30.57	1.41	-46.46	46.49	272



Ein und Ausgabe: Farbmetrisches Drucker-Reflexiv-System ORS18_95aM für relativen CIELAB-Buntton $h^* = lab^*h^* = h_{ab}/360 = 25/360 = 0.071$ $u^* = r00j$
Daten für jede Farbe:
 lab^*ich^* und lab^*icu^*
Elementar-Bunttontext:
 $u^* = r00j$
Kontrastreduzierungsfaktor:
 $c_R = 1.0$
Dreiecks-Helligkeit t^*



ORS18_95aM; adaptierte CIELAB-Daten					
$L^* = L^*_a$	a^*_a	b^*_a	C^*_{aba}	h^*_{aba}	
O _{Ma}	47.94	65.39	50.52	82.63	38
Y _{Ma}	90.37	-10.26	91.75	92.32	96
L _{Ma}	50.9	-62.83	34.96	71.91	151
C _{Ma}	58.62	-30.34	-45.01	54.3	236
V _{Ma}	25.72	31.1	-44.4	54.22	305
M _{Ma}	48.13	75.28	-8.36	75.74	354
W _{Ma}	18.01	0.0	0.0	0.0	0
R _{CIE}	39.92	58.74	27.99	65.07	25
J _{CIE}	81.26	-2.88	71.56	71.62	92
G _{CIE}	52.23	-42.41	13.6	44.55	162
B _{CIE}	30.57	1.41	-46.46	46.49	272

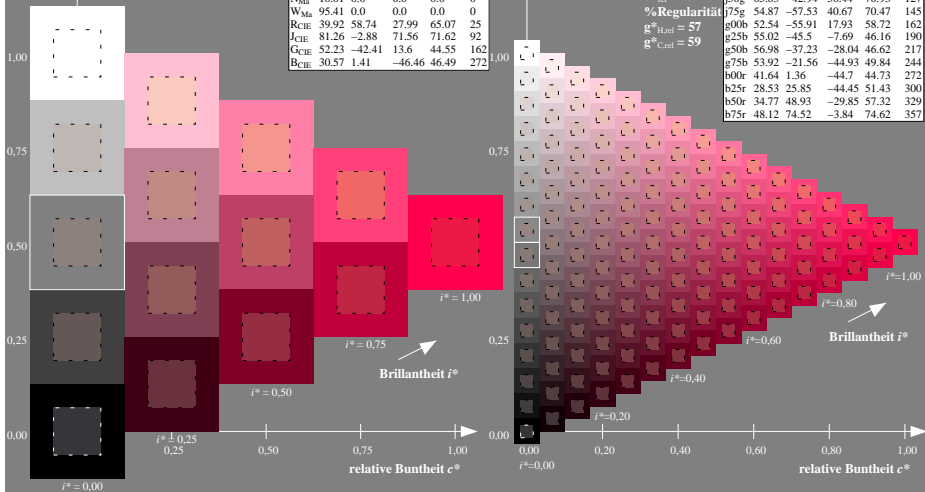
Daten für Maximalfarbe (Ma):

LAB^*LAB^*Ma : 48 68 33
 LAB^*LCH^*Ma : 48 76 25
 lab^*rgb^*Ma : 1.0 0.0 0.0
 lab^*olv^*Ma : 1.0 0.0 0.3

ORS18_95aM; adaptierte CIELAB-Daten					
$L^* = L^*_a$	a^*_a	b^*_a	C^*_{aba}	h^*_{aba}	
r00j	48.0	68.4	32.59	75.77	25
r25j	51.32	59.36	53.8	80.11	42
r50b	62.67	39.12	64.83	75.72	59
r75j	73.73	19.4	75.58	78.03	76
j00g	86.61	-3.55	88.09	88.17	92
j25g	78.07	-26.64	74.05	78.7	110
j50g	65.83	-42.94	56.44	70.93	127
j75g	54.87	-57.53	40.67	70.47	145
g00b	52.54	-55.91	17.93	58.72	162
g25b	55.02	-45.5	-7.69	46.16	190
g50b	56.98	-37.23	-28.04	46.62	217
g75b	53.92	-21.56	-44.93	49.84	244
b00r	41.64	1.36	-44.7	44.73	272
b25r	28.53	25.85	-44.45	51.43	300
b50r	34.77	48.93	-29.85	57.32	329
b75r	48.12	74.52	-3.84	74.62	357

Dreiecks-Helligkeit t^*

%Umfang
 $u^*_{rel} = 93$
%Regularität
 $g^*_{H,rel} = 57$
 $g^*_{C,rel} = 59$



Ein und Ausgabe: Farbmetrisches Drucker-Reflexiv-System ORS18_95aM für relativen CIELAB-Buntton $h^* = lab^*h^* = h_{ab}/360 = 42/360 = 0.117$ $u^* = r25j$

Daten für jede Farbe:
 lab^*ich^* und lab^*icu^*

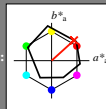
Elementar-Bunttontext:

$u^* = r25j$

Kontrastreduzierungsfaktor:

$c_R = 1.0$

Dreiecks-Helligkeit t^*



ORS18_95aM; adaptierte CIELAB-Daten					
$L^*=L^*_a$	a^*_a	b^*_a	C^*_{aba}	h^*_{aba}	
O _{Ma}	47.94	65.39	50.52	82.63	38
Y _{Ma}	90.37	-10.26	91.75	92.32	96
L _{Ma}	50.9	-62.83	34.96	71.91	151
C _{Ma}	58.62	-30.34	-45.01	54.3	236
V _{Ma}	25.72	31.1	-44.4	54.22	305
M _{Ma}	48.13	75.28	-8.36	75.74	354
W _{Ma}	18.01	0.0	0.0	0.0	0
R _{CIE}	39.92	58.74	27.99	65.07	25
J _{CIE}	81.26	-2.88	71.56	71.62	92
G _{CIE}	52.23	-42.41	13.6	44.55	162
B _{CIE}	30.57	1.41	-46.46	46.49	272

Daten für Maximalfarbe (Ma):

$LAB^*LAB^*_{Ma}$: 51 59 54

$lab^*LCH^*_{Ma}$: 51 80 42

$lab^*rgb^*_{Ma}$: 1.0 0.25 0.0

$lab^*olv^*_{Ma}$: 1.0 0.08 0.0

Dreiecks-Helligkeit t^*

ORS18_95aM; adaptierte CIELAB-Daten					
$L^*=L^*_a$	a^*_a	b^*_a	C^*_{aba}	h^*_{aba}	
r00j	48.0	68.4	32.59	75.77	25
r25j	51.32	59.36	53.8	80.11	42
r50j	62.67	39.12	64.83	75.72	59
r75j	73.73	19.4	75.58	78.03	76
j00g	86.61	-3.55	88.09	88.17	92
j25g	78.07	-26.64	74.05	78.7	110
j50g	65.83	-42.94	56.44	70.93	127
j75g	54.87	-57.53	40.67	70.47	145
g00b	52.54	-55.91	17.93	58.72	162
g25b	55.02	-45.5	-7.69	46.16	190
g50b	56.98	-37.23	-28.04	46.62	217
g75b	53.92	-21.56	-44.93	49.84	244
b00r	41.64	1.36	-44.7	44.73	272
b25r	28.53	25.85	-44.45	51.43	300
b50r	34.77	48.93	-29.85	57.32	329
b75r	48.12	74.52	-3.84	74.62	357

%Umfang

$u^*_{rel} = 93$

%Regularität

$g^*_{H,rel} = 57$

$g^*_{C,rel} = 59$

Brillanz i^*

$i^* = 1.00$

$i^* = 0.80$

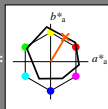
$i^* = 0.60$

$i^* = 0.40$

$i^* = 0.20$

$i^* = 0.00$

Ein und Ausgabe: Farbmetrisches Drucker-Reflexiv-System ORS18_95aM für relativen CIELAB-Buntton $h^* = lab^*h^* = h_{ab}/360 = 59/360 = 0.164$ $u^* = r50j$
Daten für jede Farbe:
 lab^*ich^* und lab^*icu^*
Elementar-Bunttonkontext:
 $u^* = r50j$
Kontrastreduzierungsfaktor:
 $c_R = 1.0$
Dreiecks-Helligkeit t^*



ORS18_95aM; adaptierte CIELAB-Daten					
$L^*=L^*_a$	a^*_a	b^*_a	C^*_{aba}	h^*_{aba}	
O _{Ma}	47.94	65.39	50.52	82.63	38
Y _{Ma}	90.37	-10.26	91.75	92.32	96
L _{Ma}	50.9	-62.83	34.96	71.91	151
C _{Ma}	58.62	-30.34	-45.01	54.3	236
V _{Ma}	25.72	31.1	-44.4	54.22	305
M _{Ma}	48.13	75.28	-8.36	75.74	354
W _{Ma}	18.01	0.0	0.0	0.0	0
R _{CIE}	39.92	58.74	27.99	65.07	25
J _{CIE}	81.26	-2.88	71.56	71.62	92
G _{CIE}	52.23	-42.41	13.6	44.55	162
B _{CIE}	30.57	1.41	-46.46	46.49	272

Daten für Maximalfarbe (Ma):

LAB^*LAB^*Ma : 63 39 65

LAB^*LCH^*Ma : 63 76 59

lab^*rgb^*Ma : 1.0 0.5 0.0

lab^*olv^*Ma : 1.0 0.35 0.0

Dreiecks-Helligkeit t^*

ORS18_95aM; adaptierte CIELAB-Daten					
$L^*=L^*_a$	a^*_a	b^*_a	C^*_{aba}	h^*_{aba}	
r00j	48.0	68.4	32.59	75.77	25
r25j	51.32	59.36	53.8	80.11	42
r50j	62.67	39.12	64.83	75.72	59
r75j	73.73	19.4	75.58	78.03	76
j00g	86.61	-3.55	88.09	88.17	92
j25g	78.07	-26.64	74.05	78.7	110
j50g	65.83	-42.94	56.44	70.93	127
j75g	54.87	-57.53	40.67	70.47	145
g00b	52.54	-55.91	17.93	58.72	162
g25b	55.02	-45.5	-7.69	46.16	190
g50b	56.98	-37.23	-28.04	46.62	217
g75b	53.92	-21.56	-44.93	49.84	244
b00r	41.64	1.36	-44.7	44.73	272
b25r	28.53	25.85	-44.45	51.43	300
b50r	34.77	48.93	-29.85	57.32	329
b75r	48.12	74.52	-3.84	74.62	357

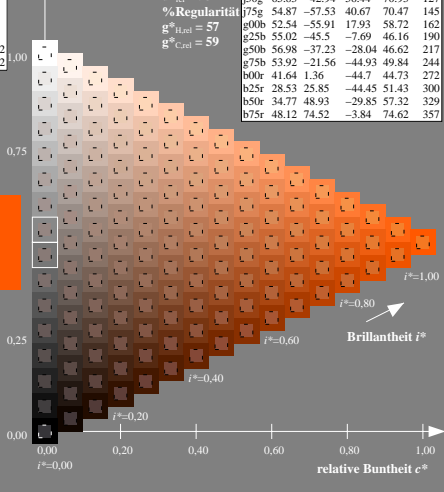
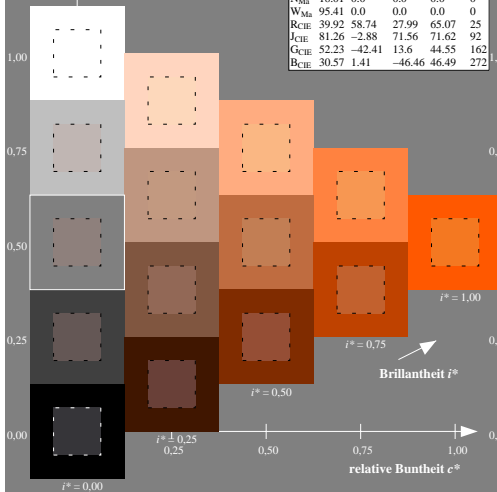
%Umfang

$u^*_{rel} = 93$

%Regularität

$g^*_{H,rel} = 57$

$g^*_{C,rel} = 59$



Ein und Ausgabe: Farbmetrisches Drucker-Reflexiv-System ORS18_95aM für relativen CIELAB-Buntton $h^* = \text{lab}^*h^* = h_{ab}/360 = 76/360 = 0.21$ $u^* = r75j$

Daten für jede Farbe:

lab^*ich^* und lab^*icu^*

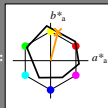
Elementar-Bunttonkontext:

$u^* = r75j$

Kontrastreduzierungsfaktor:

$c_R = 1.0$

Dreiecks-Helligkeit t^*



ORS18_95aM; adaptierte CIELAB-Daten

	$L^*=L^*_a$	a^*_a	b^*_a	C^*_{aba}	h^*_{aba}
O _{Ma}	47.94	65.39	50.52	82.63	38
Y _{Ma}	90.37	-10.26	91.75	92.32	96
L _{Ma}	50.9	-62.83	34.96	71.91	151
C _{Ma}	58.62	-30.34	-45.01	54.3	236
V _{Ma}	25.72	31.1	-44.4	54.22	305
M _{Ma}	48.13	75.28	-8.36	75.74	354
W _{Ma}	18.01	0.0	0.0	0.0	0
R _{CIE}	39.92	58.74	27.99	65.07	25
J _{CIE}	81.26	-2.88	71.56	71.62	92
G _{CIE}	52.23	-42.41	13.6	44.55	162
B _{CIE}	30.57	1.41	-46.46	46.49	272

Daten für Maximalfarbe (Ma):

$\text{LAB}^*\text{LAB}^*_{\text{Ma}}$: 74 19 76

$\text{LAB}^*\text{LCH}^*_{\text{Ma}}$: 74 78 76

$\text{lab}^*\text{rgb}^*_{\text{Ma}}$: 1.0 0.75 0.0

$\text{lab}^*\text{olv}^*_{\text{Ma}}$: 1.0 0.61 0.0

Dreiecks-Helligkeit t^*

ORS18_95aM; adaptierte CIELAB-Daten

	$L^*=L^*_a$	a^*_a	b^*_a	C^*_{aba}	h^*_{aba}
r00j	48.0	68.4	32.59	75.77	25
r25j	51.32	59.36	53.8	80.11	42
r50j	62.67	39.12	64.83	75.72	59
r75j	73.73	19.4	75.58	78.03	76
j00g	86.61	-3.55	88.09	88.17	92
j25g	78.07	-26.64	74.05	78.7	110
j50g	65.83	-42.94	56.44	70.93	127
j75g	54.87	-57.53	40.67	70.47	145
g00b	52.54	-55.91	17.93	58.72	162
g25b	55.02	-45.5	-7.69	46.16	190
g50b	56.98	-37.23	-28.04	46.62	217
g75b	53.92	-21.56	-44.93	49.84	244
b00r	41.64	1.36	-44.7	44.73	272
b25r	28.53	25.85	-44.45	51.43	300
b50r	34.77	48.93	-29.85	57.32	329
b75r	48.12	74.52	-3.84	74.62	357

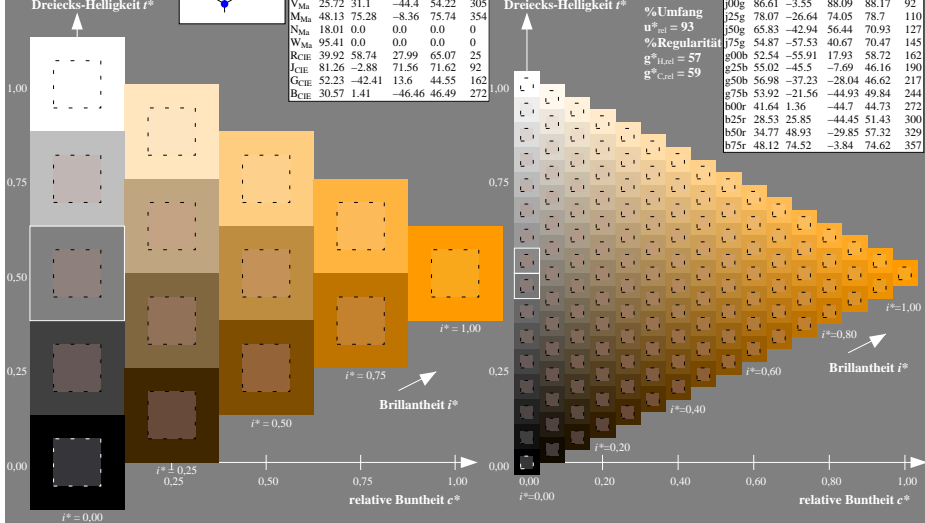
%Umfang

$u^*_{\text{rel}} = 93$

%Regularität

$g^*_{\text{H,rel}} = 57$

$g^*_{\text{C,rel}} = 59$



Ein und Ausgabe: Farbmetrisches Drucker-Reflexiv-System ORS18_95aM für relativen CIELAB-Buntton $h^* = lab^*h^* = h_{ab}/360 = 92/360 = 0.256$ $u^* = j00g$

Daten für jede Farbe:

lab^*ich^* und lab^*icu^*

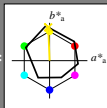
Elementar-Bunttonkontext:

$u^* = j00g$

Kontrastreduzierungsfaktor:

$c_R = 1.0$

Dreiecks-Helligkeit t^*



ORS18_95aM; adaptierte CIELAB-Daten

	$L^* = L^*_a$	a^*_a	b^*_a	C^*_{aba}	h^*_{aba}
O _{Ma}	47.94	65.39	50.52	82.63	38
Y _{Ma}	90.37	-10.26	91.75	92.32	96
L _{Ma}	50.9	-62.83	34.96	71.91	151
C _{Ma}	58.62	-30.34	-45.01	54.3	236
V _{Ma}	25.72	31.1	-44.4	54.22	305
M _{Ma}	48.13	75.28	-8.36	75.74	354
W _{Ma}	18.01	0.0	0.0	0.0	0
R _{CIE}	39.92	58.74	27.99	65.07	25
J _{CIE}	81.26	-2.88	71.56	71.62	92
G _{CIE}	52.23	-42.41	13.6	44.55	162
B _{CIE}	30.57	1.41	-46.46	46.49	272

Daten für Maximalfarbe (Ma):

LAB^*LAB^*Ma : 87 -3 88

LAB^*LCH^*Ma : 87 88 92

lab^*rgb^*Ma : 1.0 1.0 0.0

lab^*olv^*Ma : 1.0 0.91 0.0

Dreiecks-Helligkeit t^*

ORS18_95aM; adaptierte CIELAB-Daten

	$L^* = L^*_a$	a^*_a	b^*_a	C^*_{aba}	h^*_{aba}
r00j	48.0	68.4	32.59	75.77	25
r25j	51.32	59.36	53.8	80.11	42
r50j	62.67	39.12	64.83	75.72	59
r75j	73.73	19.4	75.58	78.03	76
j00g	86.61	-3.55	88.09	88.17	92
j25g	78.07	-26.64	74.05	78.7	110
j50g	65.83	-42.94	56.44	70.93	127
j75g	54.87	-57.53	40.67	70.47	145
g00b	52.54	-55.91	17.93	58.72	162
g25b	55.02	-45.5	-7.69	46.16	190
g50b	56.98	-37.23	-28.04	46.62	217
g75b	53.92	-21.56	-44.93	49.84	244
b00r	41.64	1.36	-44.7	44.73	272
b25r	28.53	25.85	-44.45	51.43	300
b50r	34.77	48.93	-29.85	57.32	329
b75r	48.12	74.52	-3.84	74.62	357

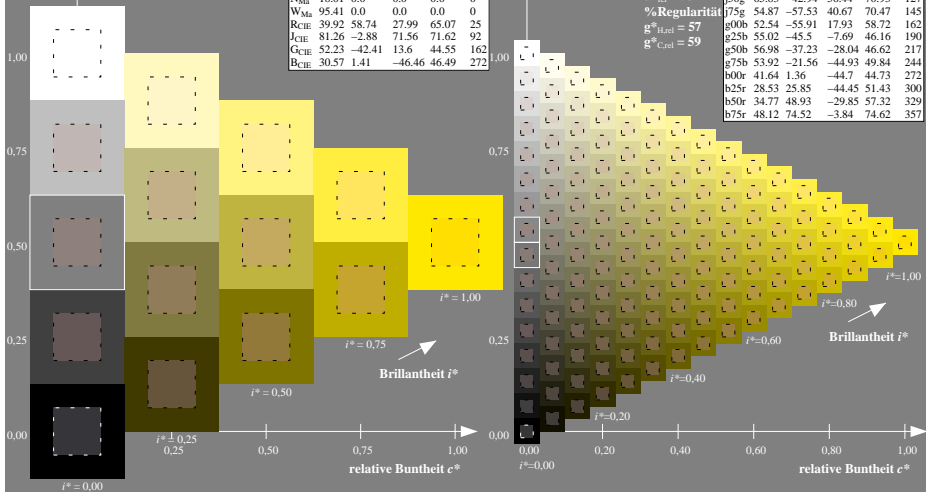
%Umfang

$u^*_{rel} = 93$

%Regularität

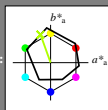
$g^*_{H,rel} = 57$

$g^*_{C,rel} = 59$



Ein und Ausgabe: Farbmetrisches Drucker-Reflektiv-System ORS18_95aM für relativen CIELAB-Buntton $h^* = lab^*h^* = h_{ab}/360 = 110/360 = 0.305 u^* = j25g$
Daten für jede Farbe:
 lab^*ich^* und lab^*icu^*
Elementar-Bunttonkontext:

$u^* = j25g$
Kontrastreduzierungsfaktor:
 $c_R = 1.0$
Dreiecks-Helligkeit t^*



ORS18_95aM; adaptierte CIELAB-Daten					
$L^* = L^*_a$	a^*_a	b^*_a	$C^*_{ab,a}$	$h^*_{ab,a}$	
O _{Ma}	47.94	65.39	50.52	82.63	38
Y _{Ma}	90.37	-10.26	91.75	92.32	96
L _{Ma}	50.9	-62.83	34.96	71.91	151
C _{Ma}	58.62	-30.34	-45.01	54.3	236
V _{Ma}	25.72	31.1	-44.4	54.22	305
M _{Ma}	48.13	75.28	-8.36	75.74	354
W _{Ma}	18.01	0.0	0.0	0.0	0
R _{CIE}	39.92	58.74	27.99	65.07	25
J _{CIE}	81.26	-2.88	71.56	71.62	92
G _{CIE}	52.23	-42.41	13.6	44.55	162
B _{CIE}	30.57	1.41	-46.46	46.49	272

Daten für Maximalfarbe (Ma):

LAB^*LAB^*Ma : 78 -26 74

LAB^*LCH^*Ma : 78 79 110

lab^*rgb^*Ma : 0.75 1.0 0.0

lab^*olv^*Ma : 0.69 1.0 0.0

Dreiecks-Helligkeit t^*

%Umfang

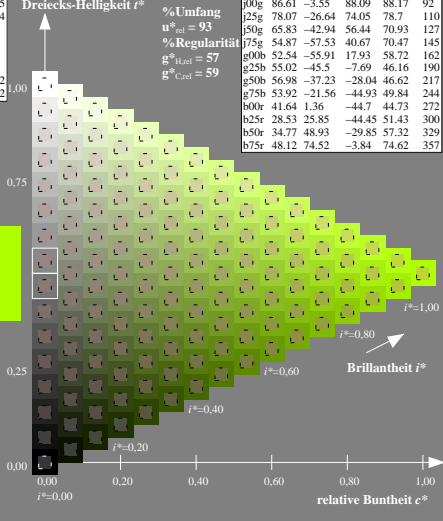
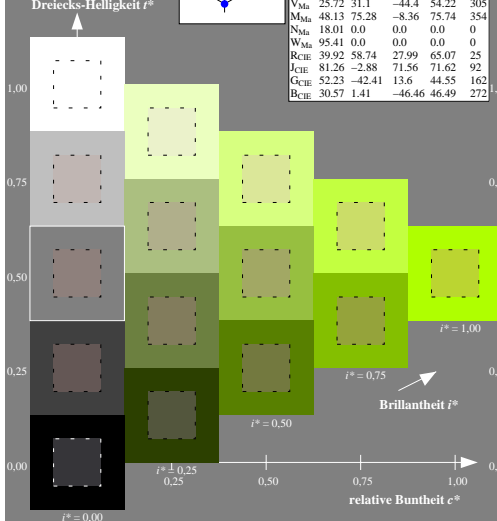
$u^*_{rel} = 93$

%Regularität

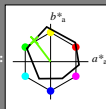
$g^*_{H,rel} = 57$

$g^*_{C,rel} = 59$

ORS18_95aM; adaptierte CIELAB-Daten					
$L^* = L^*_a$	a^*_a	b^*_a	$C^*_{ab,a}$	$h^*_{ab,a}$	
r00j	48.0	68.4	32.59	75.77	25
r25j	51.32	59.36	53.8	80.11	42
r50j	62.67	39.12	64.83	75.72	59
r75j	73.73	19.4	75.58	78.03	76
j00g	86.61	-3.55	88.09	88.17	92
j25g	78.07	-26.64	74.05	78.7	110
j50g	65.83	-42.94	56.44	70.93	127
j75g	54.87	-57.53	40.67	70.47	145
g00b	52.54	-55.91	17.93	58.72	162
g25b	55.02	-45.5	-7.69	46.16	190
g50b	56.98	-37.23	-28.04	46.62	217
g75b	53.92	-21.56	-44.93	49.84	244
b00r	41.64	1.36	-44.7	44.73	272
b25r	28.53	25.85	-44.45	51.43	300
b50r	34.77	48.93	-29.85	57.32	329
b75r	48.12	74.52	-3.84	74.62	357



Ein und Ausgabe: Farbmetrisches Drucker-Reflexiv-System ORS18_95aM für relativen CIELAB-Buntton $h^* = lab^*h^* = h_{ab}/360 = 127/360 = 0.354 u^* = j50g$
Daten für jede Farbe:
 lab^*ich^* und lab^*icu^*
Elementar-Bunttonkontext:
 $u^* = j50g$
Kontrastreduzierungsfaktor:
 $c_R = 1.0$
Dreiecks-Helligkeit t^*



ORS18_95aM; adaptierte CIELAB-Daten					
$L^*=L^*_a$	a^*_a	b^*_a	C^*_{aba}	h^*_{aba}	
O _{Ma}	47.94	65.39	50.52	82.63	38
Y _{Ma}	90.37	-10.26	91.75	92.32	96
L _{Ma}	50.9	-62.83	34.96	71.91	151
C _{Ma}	58.62	-30.34	-45.01	54.3	236
V _{Ma}	25.72	31.1	-44.4	54.22	305
M _{Ma}	48.13	75.28	-8.36	75.74	354
W _{Ma}	18.01	0.0	0.0	0.0	0
R _{CIE}	39.92	58.74	27.99	65.07	25
J _{CIE}	81.26	-2.88	71.56	71.62	92
G _{CIE}	52.23	-42.41	13.6	44.55	162
B _{CIE}	30.57	1.41	-46.46	46.49	272

Daten für Maximalfarbe (Ma):

LAB^*LAB^*Ma : 66 -42 56

LAB^*LCH^*Ma : 66 71 127

lab^*rgb^*Ma : 0.5 1.0 0.0

lab^*olv^*Ma : 0.38 1.0 0.0

Dreiecks-Helligkeit t^*

%Umfang

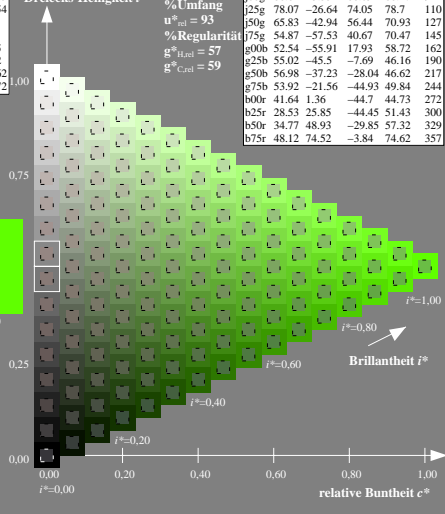
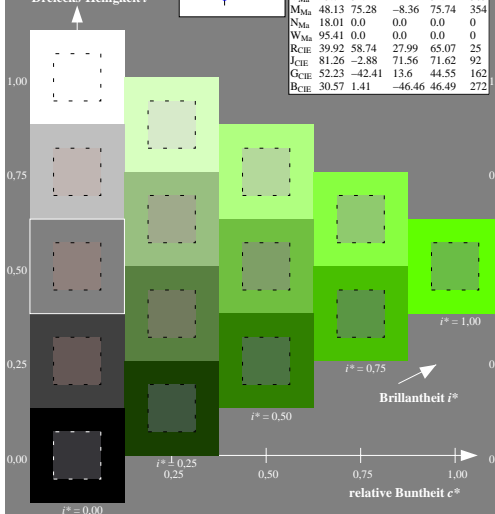
$u^*_{rel} = 93$

%Regularität

$g^*_{H,rel} = 57$

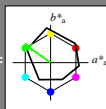
$g^*_{C,rel} = 59$

ORS18_95aM; adaptierte CIELAB-Daten					
$L^*=L^*_a$	a^*_a	b^*_a	C^*_{aba}	h^*_{aba}	
r00j	48.0	68.4	32.59	75.77	25
r25j	51.32	59.36	53.8	80.11	42
r50j	62.67	39.12	64.83	75.72	59
r75j	73.73	19.4	75.58	78.03	76
j00g	86.61	-3.55	88.09	88.17	92
j25g	78.07	-26.64	74.05	78.7	110
j50g	65.83	-42.94	56.44	70.93	127
j75g	54.87	-57.53	40.67	70.47	145
g00b	52.54	-55.91	17.93	58.72	162
g25b	55.02	-45.5	-7.69	46.16	190
g50b	56.98	-37.23	-28.04	46.62	217
g75b	53.92	-21.56	-44.93	49.84	244
b00r	41.64	1.36	-44.7	44.73	272
b25r	28.53	25.85	-44.45	51.43	300
b50r	34.77	48.93	-29.85	57.32	329
b75r	48.12	74.52	-3.84	74.62	357



Ein und Ausgabe: Farbmetrisches Drucker-Reflexiv-System ORS18_95aM für relativen CIELAB-Buntton $h^* = lab^*h^* = h_{ab}/360 = 145/360 = 0.402 u^* = j75g$
Daten für jede Farbe:
 lab^*ich^* und lab^*icu^*
Elementar-Bunttonkontext:

$u^* = j75g$
Kontrastreduzierungsfaktor:
 $c_R = 1.0$
Dreiecks-Helligkeit t^*



ORS18_95aM; adaptierte CIELAB-Daten					
$L^* = L^*_a$	a^*_a	b^*_a	$C^*_{ab,a}$	$h^*_{ab,a}$	
O _{Ma}	47.94	65.39	50.52	82.63	38
Y _{Ma}	90.37	-10.26	91.75	92.32	96
L _{Ma}	50.9	-62.83	34.96	71.91	151
C _{Ma}	58.62	-30.34	-45.01	54.3	236
V _{Ma}	25.72	31.1	-44.4	54.22	305
M _{Ma}	48.13	75.28	-8.36	75.74	354
W _{Ma}	18.01	0.0	0.0	0.0	0
R _{CIE}	39.92	58.74	27.99	65.07	25
J _{CIE}	81.26	-2.88	71.56	71.62	92
G _{CIE}	52.23	-42.41	13.6	44.55	162
B _{CIE}	30.57	1.41	-46.46	46.49	272

Daten für Maximalfarbe (Ma):

$LAB^*LAB^*Ma: 55 -57 41$
 $LAB^*LCH^*Ma: 55 70 145$
 $lab^*rgb^*Ma: 0.25 1.0 0.0$
 $lab^*olv^*Ma: 0.1 1.0 0.0$

ORS18_95aM; adaptierte CIELAB-Daten					
$L^* = L^*_a$	a^*_a	b^*_a	$C^*_{ab,a}$	$h^*_{ab,a}$	
r00j	48.0	68.4	32.59	75.77	25
r25j	51.32	59.36	53.8	80.11	42
r50j	62.67	39.12	64.83	75.72	59
r75j	73.73	19.4	75.58	78.03	76
j00g	86.61	-3.55	88.09	88.17	92
j25g	78.07	-26.64	74.05	78.7	110
j50g	65.83	-42.94	56.44	70.93	127
j75g	54.87	-57.53	40.67	70.47	145
g00b	52.54	-55.91	17.93	58.72	162
g25b	55.02	-45.5	-7.69	46.16	190
g50b	56.98	-37.23	-28.04	46.62	217
g75b	53.92	-21.56	-44.93	49.84	244
b00r	41.64	1.36	-44.7	44.73	272
b25r	28.53	25.85	-44.45	51.43	300
b50r	34.77	48.93	-29.85	57.32	329
b75r	48.12	74.52	-3.84	74.62	357

Dreiecks-Helligkeit t^*

%Umfang
 $u^*_{rel} = 93$
%Regularität
 $g^*_{H,rel} = 57$
 $g^*_{C,rel} = 59$

